

9

Dive into Conic Sections

深入圆锥曲线

探寻和数据科学、机器学习之间联系



地球是人类的摇篮，但我们不能永远生活在摇篮里。

Earth is the cradle of humanity, but one cannot live in a cradle forever.

—— 康斯坦丁·齐奥尔科夫斯基 (Konstantin Tsiolkovsky) | 俄罗斯火箭专家 | 1857 ~ 1935



- ▶ matplotlib.patches.Rectangle() 绘制通过定位点，以及设定宽度和高度的矩形
- ▶ matplotlib.pyplot.contour() 绘制等高线图
- ▶ matplotlib.pyplot.contourf() 绘制填充等高线图
- ▶ numpy.cosh() 双曲余弦函数
- ▶ numpy.isinf() 判断是否存在无穷
- ▶ numpy.maximum() 计算最大值
- ▶ numpy.sinh() 双曲正弦函数
- ▶ numpy.tanh() 双曲正切函数
- ▶ sympy.Eq() 定义符号等式
- ▶ sympy.evalf() 将符号解析式中未知量替换为具体数值
- ▶ sympy.plot_implicit() 绘制隐函数方程
- ▶ sympy.symbols() 定义符号变量

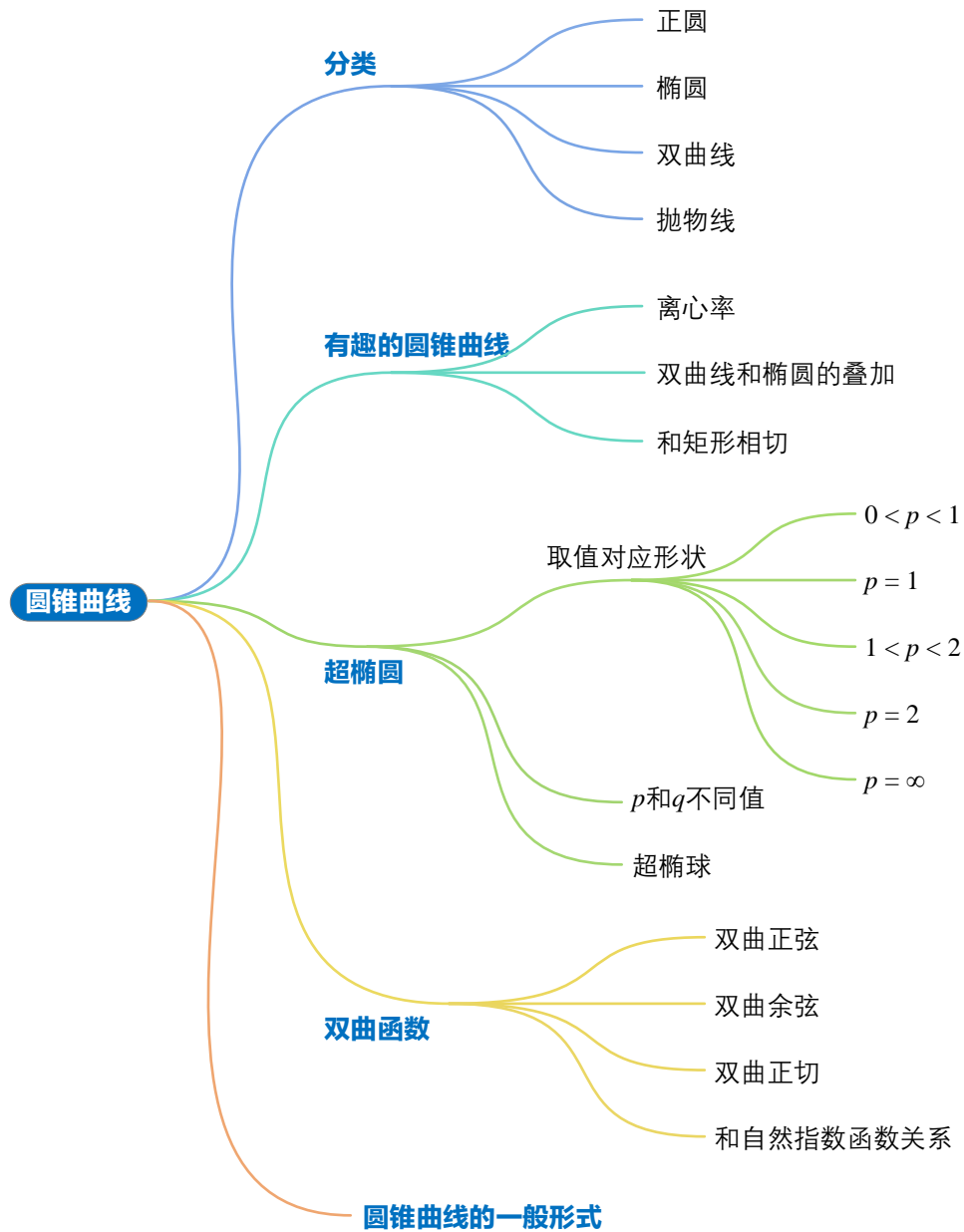
本 PDF 文件为作者草稿，发布目的为方便读者在移动终端学习，终稿内容以清华大学出版社纸质出版物为准。

版权归清华大学出版社所有，请勿商用，引用请注明出处。

代码及 PDF 文件下载：<https://github.com/Visualize-ML>

本书配套微课视频均发布在 B 站——生姜 DrGinger：<https://space.bilibili.com/513194466>

欢迎大家批评指教，本书专属邮箱：jiang.visualize.ml@gmail.com



本 PDF 文件为作者草稿，发布目的为方便读者在移动终端学习，终稿内容以清华大学出版社纸质出版物为准。

版权归清华大学出版社所有，请勿商用，引用请注明出处。

代码及 PDF 文件下载：<https://github.com/Visualize-ML>

本书配套微课视频均发布在 B 站——生姜 DrGinger：<https://space.bilibili.com/513194466>

欢迎大家批评指教，本书专属邮箱：jiang.visualize.ml@gmail.com

9.1 圆锥曲线：探索星辰大海

虽然正圆、椭圆、抛物线、双曲线这样的数学概念现在见诸于中学课本，但是它们在现如今依旧展现着巨大能量；比如，在星辰大海的征途中，圆锥曲线扮演重要的角色。

图 1 所示为四种航天器轨道。当航天器以**第一宇宙速度** (first cosmic velocity) 绕地运行时，运行的轨道为**正圆轨道** (circular orbit)；第一宇宙速度因此被称作**环绕速度** (orbit speed)。提高航天器绕行速度，轨道变为**椭圆轨道** (elliptical orbit)。

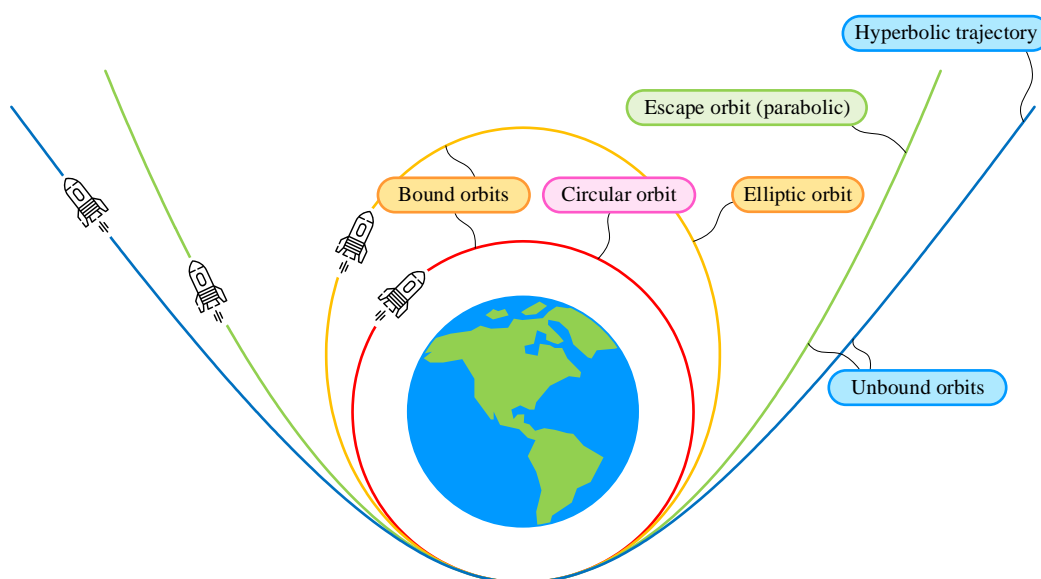


图 1. 航天器的几种轨道

继续提高绕行速度，当航天器速度达到**第二宇宙速度** (second cosmic velocity) 时，航天器便达到逃离地球所需速度；这一速度也叫**逃逸速度** (escape velocity)；这时，航天器运行轨道变为**抛物线轨道** (parabolic trajectory) 或**双曲线轨道** (hyperbolic trajectory)，它可以脱离地球的引力场而成为围绕太阳运行的人造行星。

探索火星约每 26 个月有一个发射窗口；这是因为地球在低轨道绕太阳运行，而火星在高轨道绕行。地球和火星的公转周期不同，两个行星大约每 26 个月“相遇”一次，也就是说地球与火星之间的距离最近。

如图 2 所示，探索火星需要利用**霍曼转移轨道** (Hohmann transfer orbit)；简单来说，霍曼轨道是一条椭圆形的轨道，通过两次加速将航天器从地球所在的低轨道送入火星运动的高轨道。

航天器首先进入绕太阳圆周运动的低轨道。

太空船在低轨道 A 点处上瞬间加速后，进入一个椭圆形的转移轨道；注意，加速瞬间火星位于 B。太空船由此椭圆轨道的近拱点开始，抵达远拱点后再瞬间加速，进入火星所在的目标轨道。反过来，霍曼转移轨道亦可将太空船送往较低的轨道，不过是两次减速而非加速。

拱点 (apsis) 在天文学中是指椭圆轨道上运行天体最接近或最远离它的引力中心，比如太阳，的点。最靠近引力中心的点称为近拱点 (periapsis)；而距离引力中心最远的点就称为远拱点 (apoapsis)。

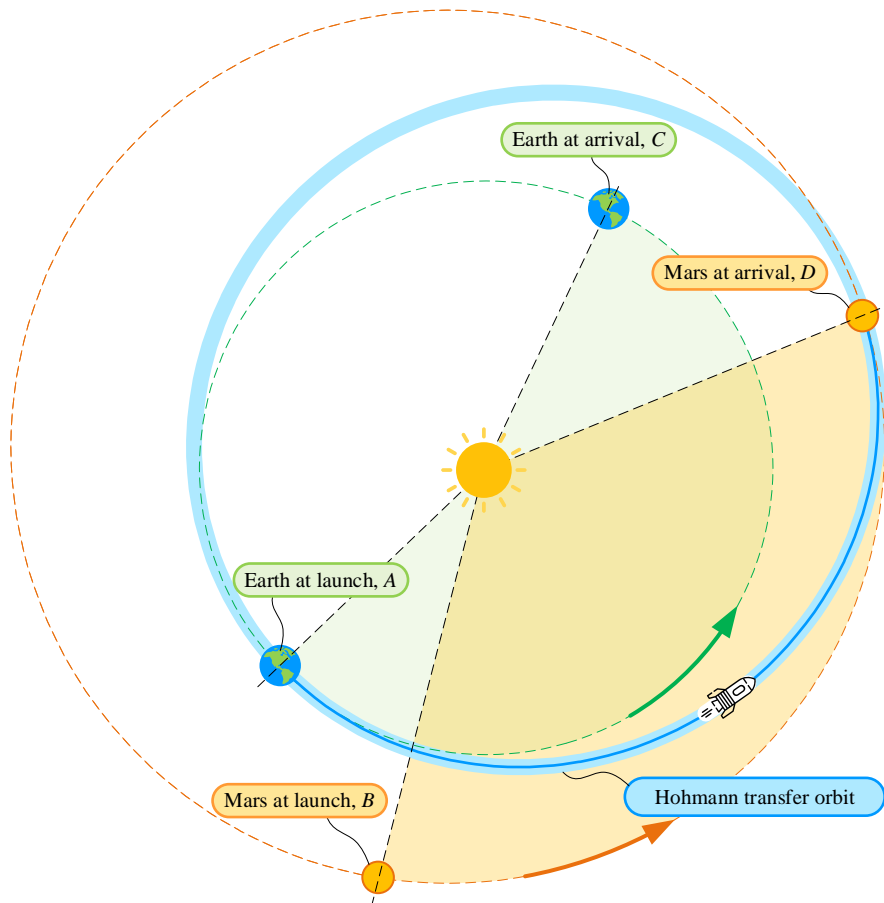


图 2. 探索火星的霍曼轨道

9.2 离心率：联系不同类型圆锥曲线

不同类型圆锥曲线可以通过同离心率 (eccentricity) e 联系起来：

$$x_2^2 = 2px_1 + (e^2 - 1)x_1^2, \quad e \geq 0 \quad (1)$$

正圆的离心率 $e = 0$ ，椭圆的离心率 $0 < e < 1$ ，抛物线离心率 $e = 1$ ，双曲线离心率 $e > 1$ 。(1) 对应的这一组曲线共用 $(0, 0)$ 这个顶点。

本 PDF 文件为作者草稿，发布目的为方便读者在移动终端学习，终稿内容以清华大学出版社纸质出版物为准。

版权归清华大学出版社所有，请勿商用，引用请注明出处。

代码及 PDF 文件下载：<https://github.com/Visualize-ML>

本书配套微课视频均发布在 B 站——生姜 DrGinger：<https://space.bilibili.com/513194466>

欢迎大家批评指教，本书专属邮箱：jiang.visualize.ml@gmail.com

当 $p = 1$ 时，离心率 e 取不同数值，可以得到如图 3 所示一组圆锥曲线。

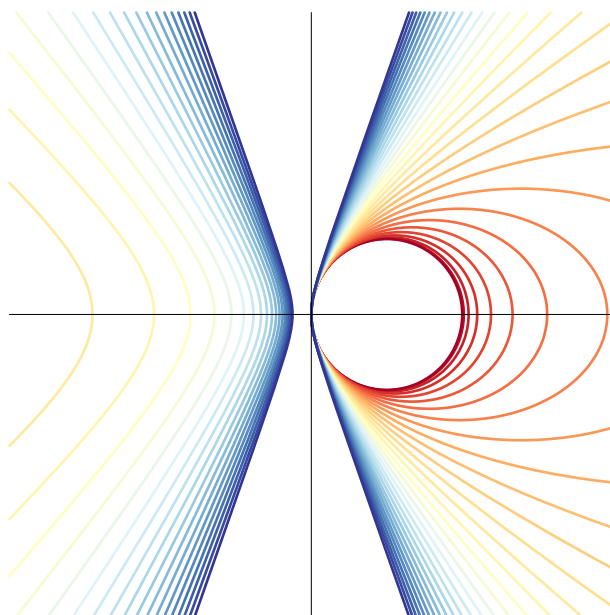


图 3. 离心率连续变化条件下一组圆锥曲线



Bk3_Ch9_01.py 绘制图 3；代码采用等高线方式可视化圆锥曲线。

9.3 一组有趣的圆锥曲线

本节介绍一组有趣的圆锥曲线，解析式如下：

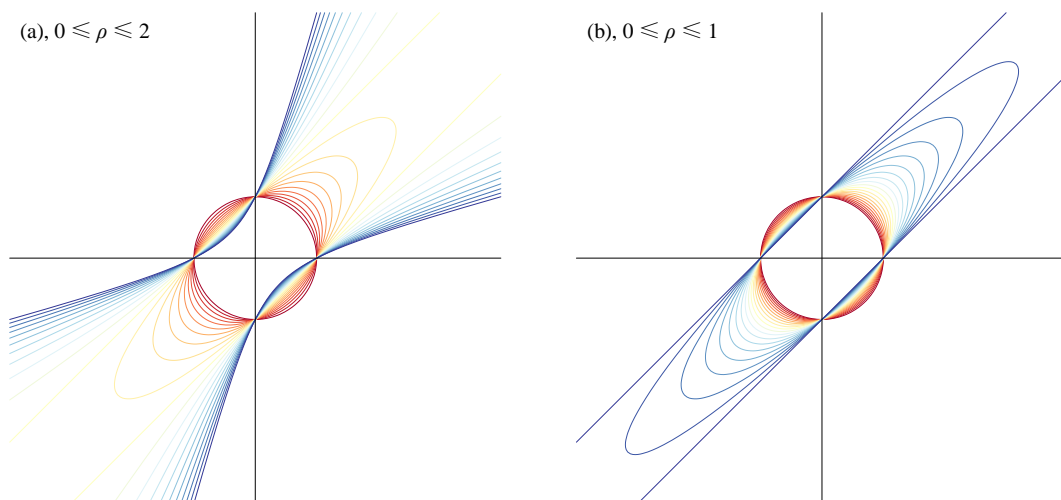
$$\frac{x_1^2}{m^2} + \frac{x_2^2}{n^2} - 2\rho \frac{x_1 x_2}{mn} = 1 \quad (2)$$

其中， $m > 0$ ， $n > 0$ 。

上式可以看做是椭圆和双曲线的“叠加”； $x_1 x_2 = 1$ 实际上是一个旋转双曲线。参数 ρ 可以视作调节双曲线的“影响力”。

点 $(\pm m, 0)$ 、 $(0, \pm n)$ 都满足 (2)，也就是说这四个点都在圆锥曲线上。

如图 4 所示，当 $m = n = 1$ 时且 ρ 非负，圆锥曲线随 ρ 变化。如图 5 所示，当 $m = n = 1$ 时且 ρ 非负，圆锥曲线随 ρ 变化。 $-1 < \rho < 1$ 时，椭圆的影响力占上风；而 $|\rho| > 1$ ，双曲线影响力更大；当 $\rho = \pm 1$ 时，椭圆和双曲线势均力敌。

图 4. $m = n = 1$, 圆锥曲线随 ρ 变化, ρ 非负

当 $\rho = 1$ 时,

$$(x - y)^2 = 1 \quad (3)$$

以上解析式对应两个直线:

$$x - y = 1, \quad x - y = -1 \quad (4)$$

当 $\rho = -1$ 时, 解析式也对应两条直线。

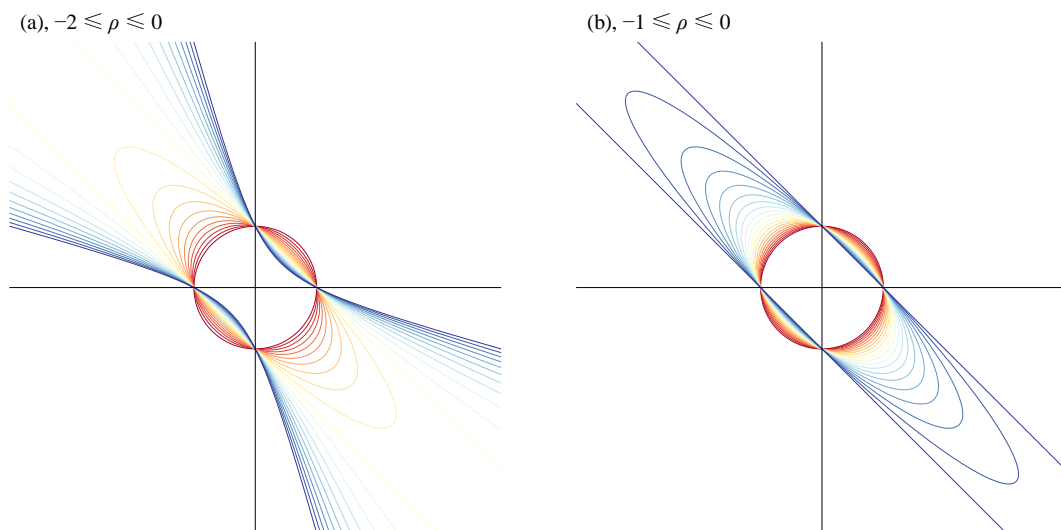
图 5. $m = n = 1$, 圆锥曲线随 ρ 变化, ρ 非正

图 6 所示为 $m = 2, n = 1$ ，圆锥曲线随 ρ 变化， ρ 的变化范围为 $[-2, 2]$ 。

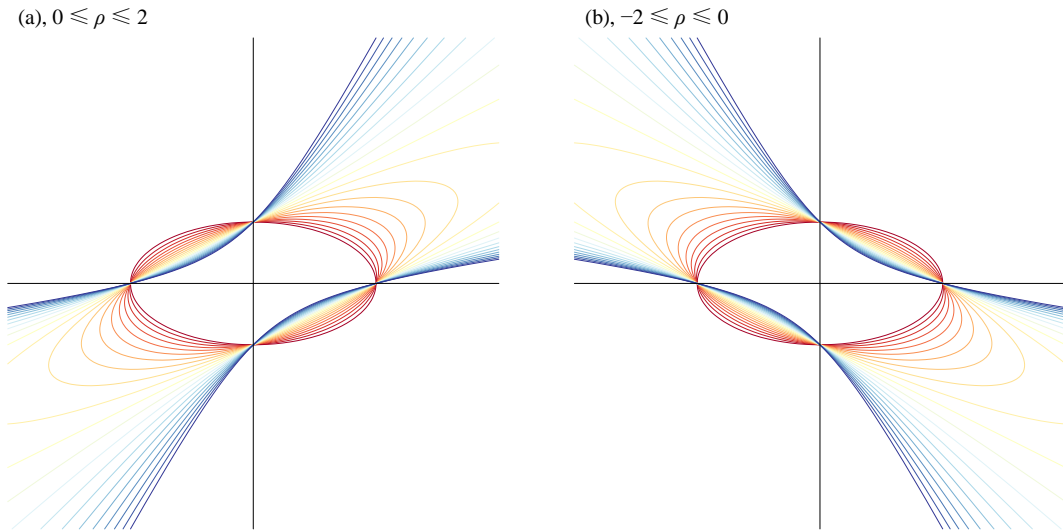
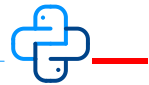


图 6. $m = 2, n = 1$ ，圆锥曲线随 ρ 变化， ρ 的变化范围为 $[-2, 2]$



Bk3_Ch9_02.py 绘制图 4、图 5 和图 6 几幅图像。

9.4 特殊椭圆：和给定矩形相切

这一节，我们要在特殊条件约束下绘制椭圆。

给定如图 7 所示的矩形，矩形中心位于原点。绘制和矩形四个边相切的椭圆；椭圆可以是正椭圆，也可以是旋转椭圆。

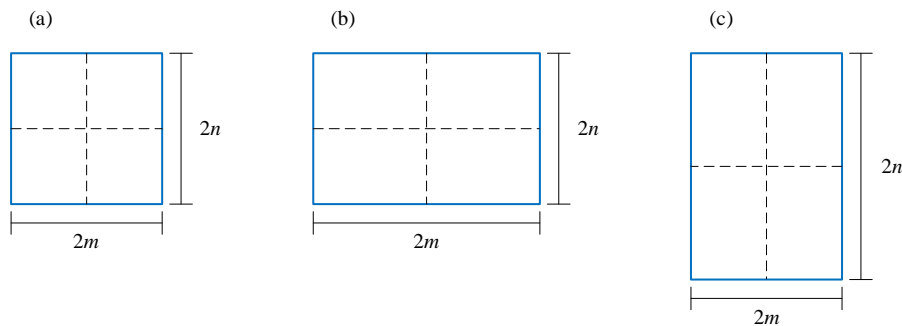


图 7. m, n 大小关系不同的矩形

本 PDF 文件为作者草稿，发布目的为方便读者在移动终端学习，终稿内容以清华大学出版社纸质出版物为准。

版权归清华大学出版社所有，请勿商用，引用请注明出处。

代码及 PDF 文件下载：<https://github.com/Visualize-ML>

本书配套微课视频均发布在 B 站——生姜 DrGinger：<https://space.bilibili.com/513194466>

欢迎大家批评指教，本书专属邮箱：jiang.visualize.ml@gmail.com

对上一节 (2) 稍作修改, 得到如下解析式:

$$\frac{x_1^2}{m^2} + \frac{x_2^2}{n^2} - \frac{2\rho x_1 x_2}{mn} = 1 - \rho^2 \quad (5)$$

参数 ρ 影响椭圆的倾斜程度, ρ 取值范围在 -1 和 1 之间。

(5) 可以进一步写成:

$$\frac{1}{1-\rho^2} \left(\frac{x_1^2}{m^2} + \frac{x_2^2}{n^2} - \frac{2\rho x_1 x_2}{mn} \right) = 1 \quad (6)$$

以矩形的中心为原点构造平面直角坐标系, 矩形和椭圆相切的切点 A 、 B 、 C 、 D 的坐标为:

$$A(m, \rho n), B(\rho m, n), C(-m, -\rho n), D(-\rho m, -n) \quad (7)$$

请大家格外注意 AC 连线, 我们将在本系列丛书的条件概率和线性回归话题中谈到这条直线。

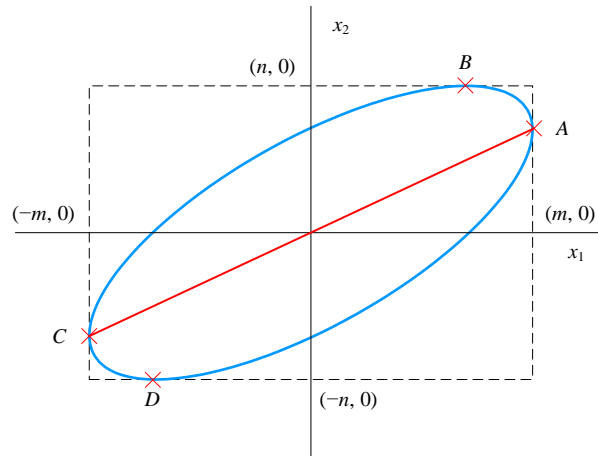


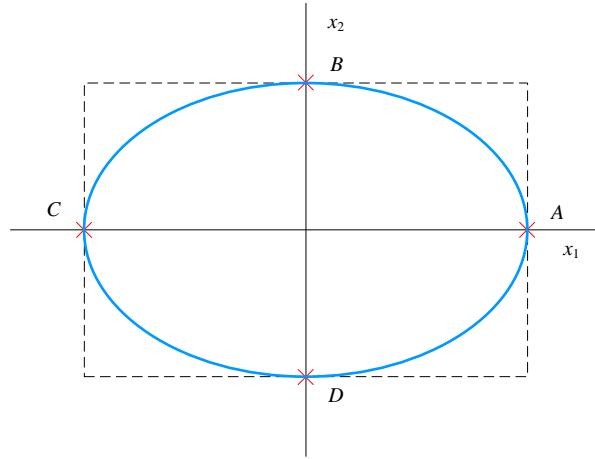
图 8. 四个切点的位置

当 $\rho = 0$ 时, 椭圆为正椭圆, 即,

$$\frac{x_1^2}{m^2} + \frac{x_2^2}{n^2} = 1 \quad (8)$$

如图 9 所示, 椭圆和矩形相切的四个切点 A 、 B 、 C 、 D 的坐标为:

$$A(m, 0), B(0, n), C(-m, 0), D(0, -n) \quad (9)$$

图 9. 当 $\rho = 0$ 时，四个切点的位置

当 $\rho = 1$ 时，椭圆蜕化为一条线段，对应解析式为：

$$\frac{x_1}{m} - \frac{x_2}{n} = 0 \quad (10)$$

当 $\rho = -1$ 时，椭圆也是一条线段：

$$\frac{x_1}{m} + \frac{x_2}{n} = 0 \quad (11)$$

两种情况对应的图像为图 10。

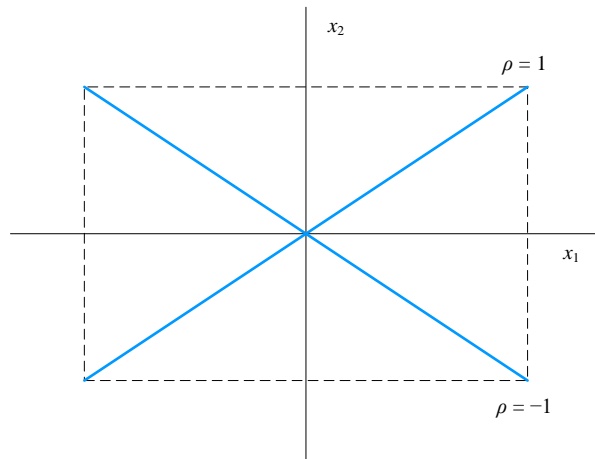
图 10. 当 $\rho = \pm 1$ 时，椭圆蜕化成线段

图 11 所示为，当 $m = n$ ， ρ 取值不同时和给定正方形相切椭圆；当 ρ 靠近 0 时，椭圆形状越接近正圆。此外，请大家注意切点位置随 ρ 如何移动。

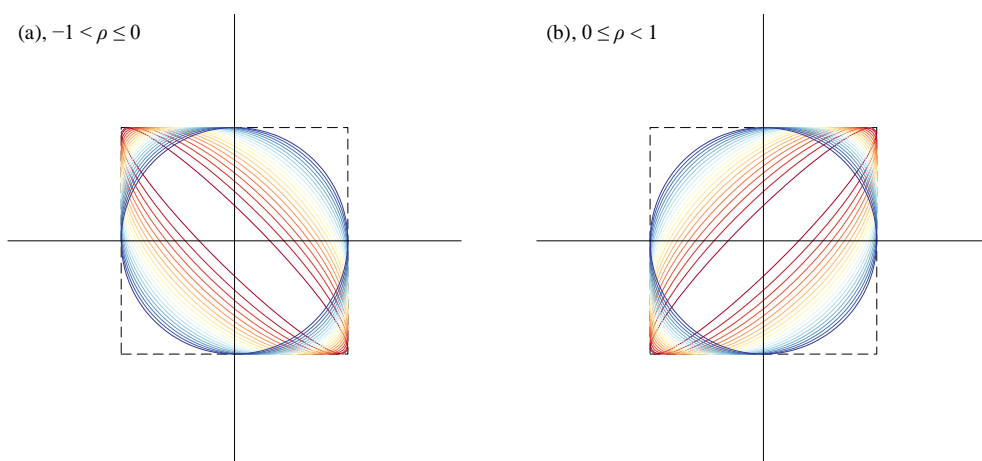
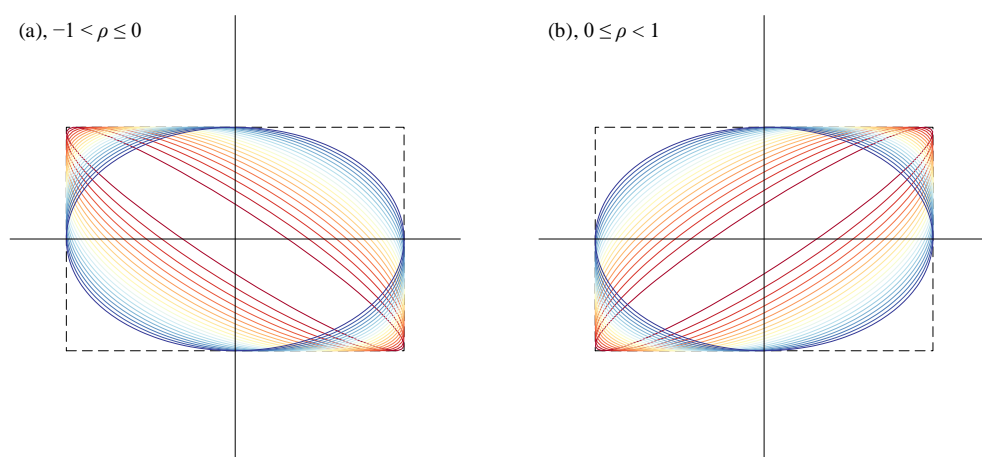
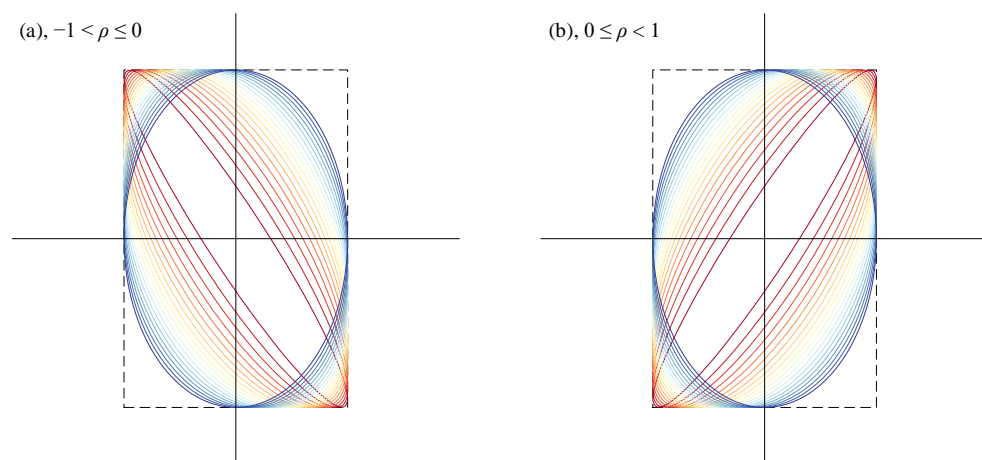
图 11. $m = n$ 时, 和给定正方形相切椭圆

图 12 和图 13 所示为, $m > n$ 和 $m < n$ 两种情况条件下, 椭圆形状随 ρ 变化。

图 12. $m > n$ 时, 和给定矩形相切椭圆图 13. $m < n$ 时, 和给定矩形相切椭圆

本 PDF 文件为作者草稿, 发布目的为方便读者在移动终端学习, 终稿内容以清华大学出版社纸质出版物为准。

版权归清华大学出版社所有, 请勿商用, 引用请注明出处。

代码及 PDF 文件下载: <https://github.com/Visualize-ML>

本书配套微课视频均发布在 B 站——生姜 DrGinger: <https://space.bilibili.com/513194466>

欢迎大家批评指教, 本书专属邮箱: jiang.visualize.ml@gmail.com

二元高斯分布

我们之所以讨论这种特殊形态的椭圆，是因为它和二元高斯分布的概率密度函数直接相关。二元高斯分布的概率密度函数 $f_{X,Y}(x,y)$ 解析式如下：

$$f_{X,Y}(x,y) = \frac{1}{2\pi\sigma_X\sigma_Y\sqrt{1-\rho_{X,Y}^2}} \times \exp \left(\underbrace{\frac{-1}{2(1-\rho_{X,Y}^2)} \left(\left(\frac{x-\mu_X}{\sigma_X} \right)^2 - 2\rho_{X,Y} \left(\frac{x-\mu_X}{\sigma_X} \right) \left(\frac{y-\mu_Y}{\sigma_Y} \right) + \left(\frac{y-\mu_Y}{\sigma_Y} \right)^2 \right)}_{\text{Ellipse}} \right) \quad (12)$$

其中， μ_X 和 μ_Y 分别为随机变量 X 、 Y 的期望值； σ_X 和 σ_Y 分别为随机变量 X 、 Y 的均方差； $\rho_{X,Y}$ 为 X 和 Y 线性相关系数，取值区间为 $(-1, 1)$ 。

相信大家已经在 (12) 看到了 (6)。



Bk3_Ch9_03.py 绘制图 11、图 12、图 13。

9.5 超椭圆：和范数有关

超椭圆 (superellipse) 是对椭圆的拓展，最常见的超椭圆的解析式为：

$$\left| \frac{x_1}{a} \right|^p + \left| \frac{x_2}{b} \right|^p = 1 \quad (13)$$

一般情况， p 为大于 0 的数值。

特别地，当 $p = 2$ ，(13) 所示为椭圆解析式。

还有两个特殊的情况，当 $p = 1$ 时，超椭圆图形为菱形：

$$\left| \frac{x_1}{a} \right| + \left| \frac{x_2}{b} \right| = 1 \quad (14)$$

当 $p = +\infty$ 时，超椭圆图形为长方形，对应的解析式为：

$$\max \left(\left| \frac{x_1}{a} \right|, \left| \frac{x_2}{b} \right| \right) = 1 \quad (15)$$

举个例子，当 $a = 2$ ， $b = 1$ 时，超椭圆的解析式为：

$$\left| \frac{x_1}{2} \right|^p + \left| \frac{x_2}{1} \right|^p = 1 \quad (16)$$

图 14 所示为 p 取不同值时，超椭圆的形状。

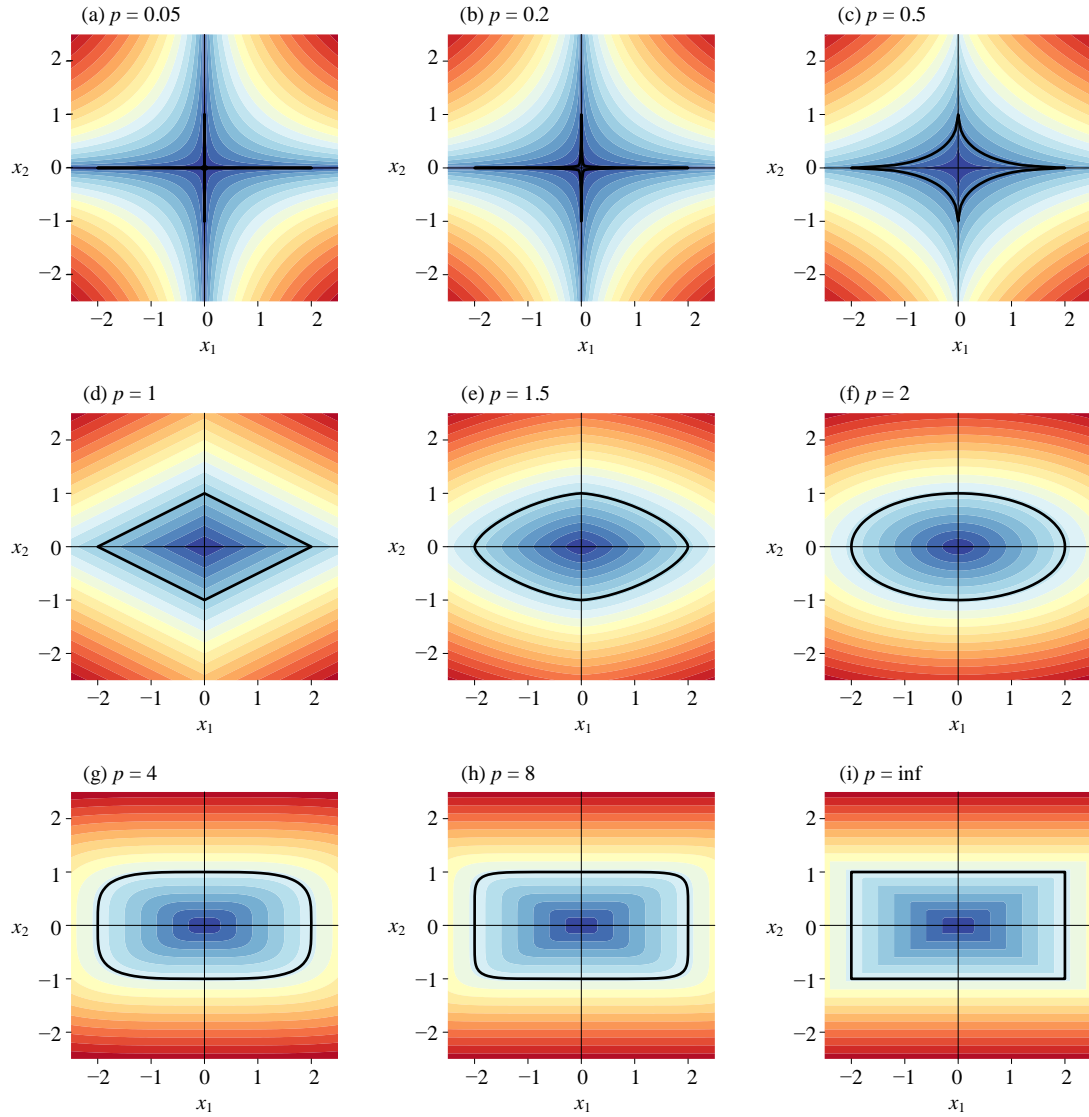
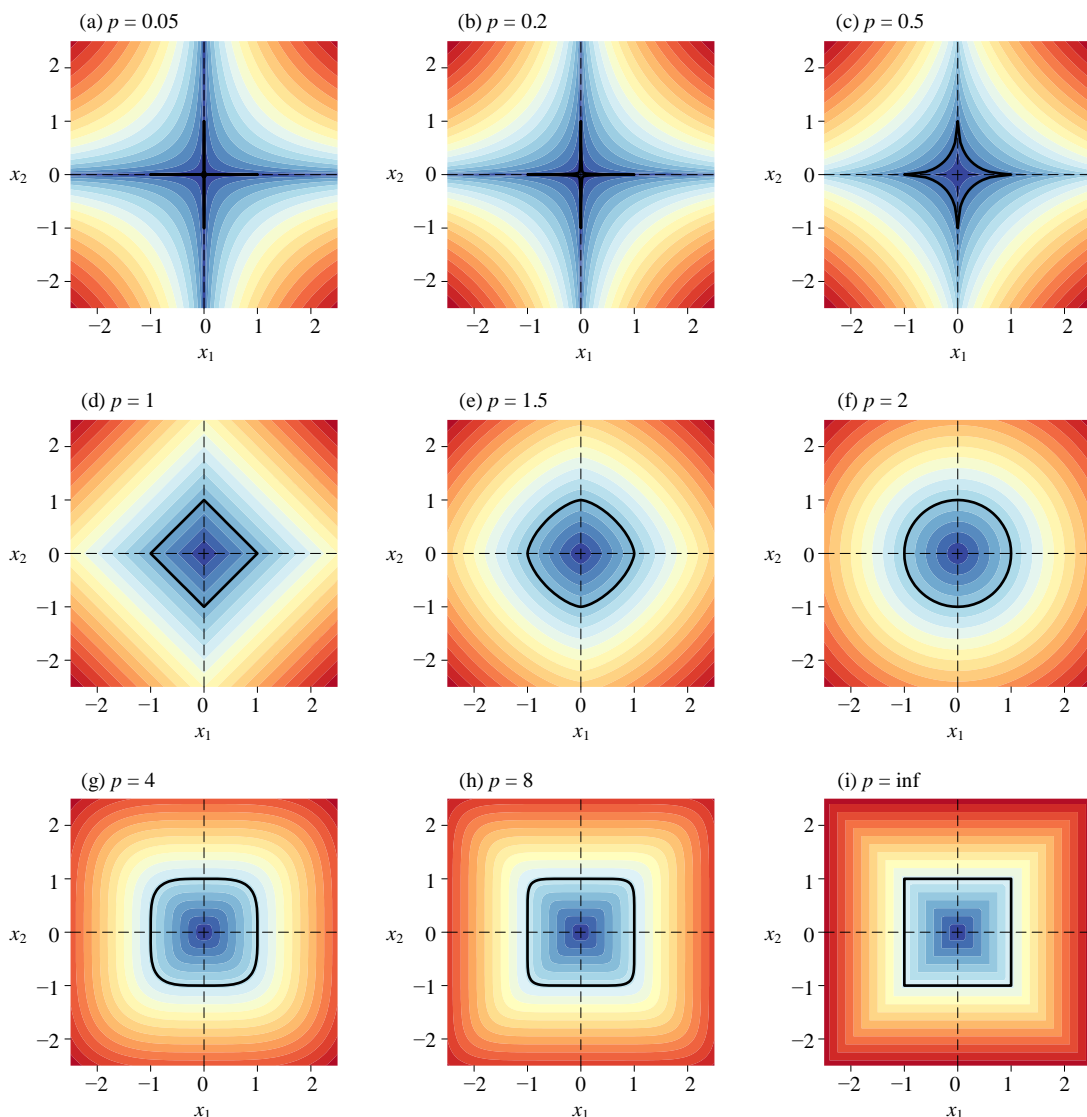


图 14. 超椭圆 p 取不同值时，超椭圆的形状， $a = 2$ ， $b = 1$

再举个例子，当 $a = 1$ ， $b = 1$ 时，超椭圆的解析式为：

$$|x_1|^p + |x_2|^p = 1 \quad (17)$$

图 15 所示为 p 取不同值时，超椭圆的形状。

图 15. 超椭圆 p 取不同值时, 超椭圆的形状, $a = 1, b = 1$

p 和 q 两个参数

将 (13) 解析式进一步推广, 得到如下二维平面的超椭圆解析式:

$$\left| \frac{x_1}{a} \right|^p + \left| \frac{x_2}{b} \right|^q = 1 \quad (18)$$

其中, p 和 q 为正数。

举个例子, 当 $a = 1, b = 1$ 时, (18) 对应的超椭圆的解析式为:

$$|x_1|^p + |x_2|^q = 1 \quad (19)$$

图 16 所示为 p 和 q 取不同值时, (19) 对应超椭圆的形状。

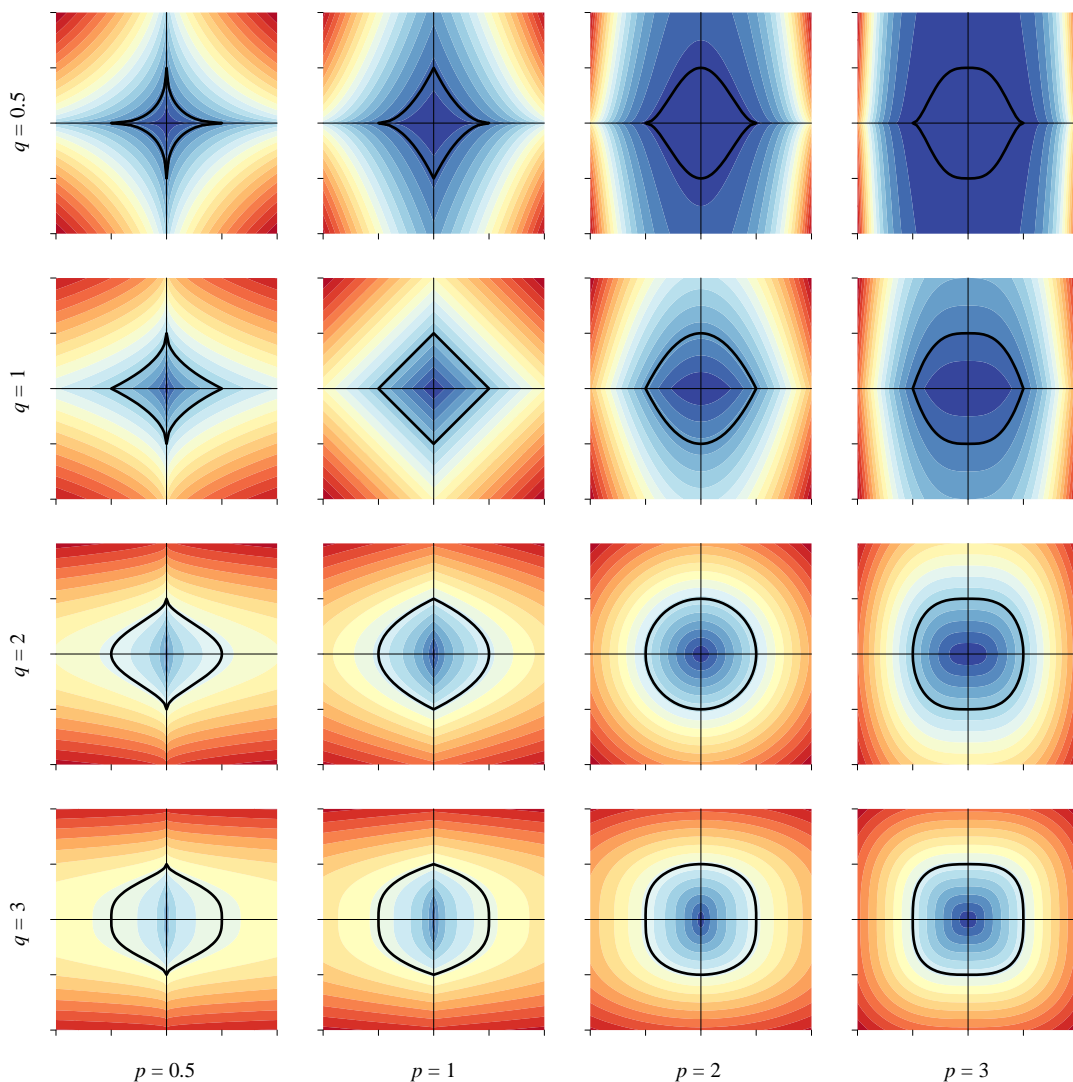


图 16. p 和 q 取不同值时, 超椭圆的形状, $a = 1$, $b = 1$

超椭圆

从二维到三维, 可以得到**超椭圆** (superellipsoid) 的解析式:

$$\left(\left| \frac{x_1}{a} \right|^r + \left| \frac{x_2}{b} \right|^r \right)^t + \left| \frac{x_3}{c} \right|^r = 1 \quad (20)$$

图 17 所示为 $a = 1$ 和 $b = 1$, t 和 r 取不同值时, 超椭球的形状。

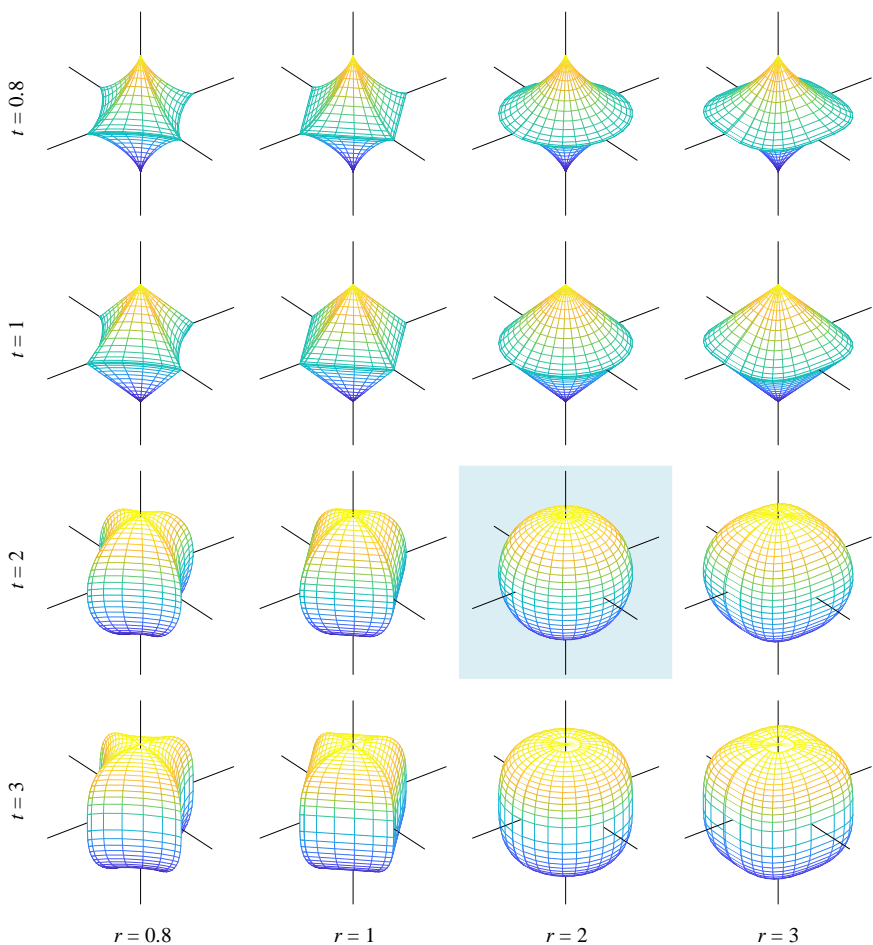


图 17. t 和 r 取不同值时，超椭球的形状， $a = 1, b = 1$



本节介绍的超椭圆和 L^p 范数紧密联系。 L^p 范数的定义如下：

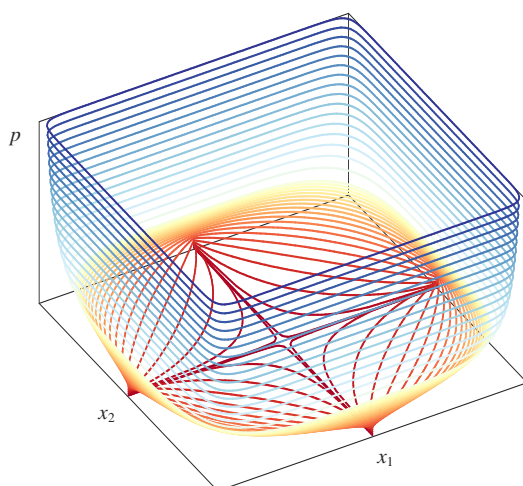
$$\|\mathbf{x}\|_p = \left(|x_1|^p + |x_2|^p + \cdots + |x_D|^p \right)^{1/p} = \left(\sum_{i=1}^D |x_i|^p \right)^{1/p} \quad (21)$$

其中，

$$\mathbf{x} = [x_1 \quad x_2 \quad \cdots \quad x_D]^T \quad (22)$$

图 18 所示为随着 p 增大， L^p 范数等距线一层层包裹。在数据科学和机器学习中， L^p 范数常用来度量距离。当 $p = 2$ ，就是 L^2 范数，这便是前文介绍的欧氏距离。

本系列丛书将在《矩阵力量》一册系统讲解范数。

图 18. 随着 p 增大, L^p 范数等距线一层层包裹

Bk3_Ch9_04.py 绘制图 14、图 15、图 16。

9.6 双曲函数：基于单位双曲线

当 $a = 1$ 和 $b = 1$ 时, 双曲线为**单位双曲线** (unit hyperbola):

$$x_1^2 - x_2^2 = 1 \quad a, b > 0 \quad (23)$$

前文提到三角函数和单位圆的关系, 单位双曲线可以用来定义**双曲函数** (hyperbolic function)。

如图 19 所示, 最基本的双曲函数是双曲正弦函数 $\sinh()$ 和双曲余弦函数 $\cosh()$ 。

双曲正切 $\tanh()$, 可以通过如下比例计算得到:

$$\tanh \theta = \frac{\sinh \theta}{\cosh \theta} \quad (24)$$

双曲正切函数 $\tanh()$ 是 S 型函数中重要的一种, 本书后续将深入介绍。

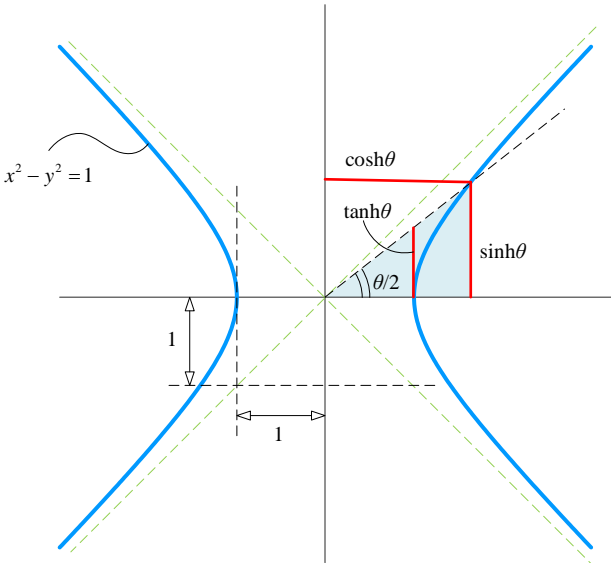


图 19. 单位双曲线和双曲函数的关系

图 20 所示为 $\sinh\theta$ 、 $\cosh\theta$ 和 $\tanh\theta$ 三个函数的关系。

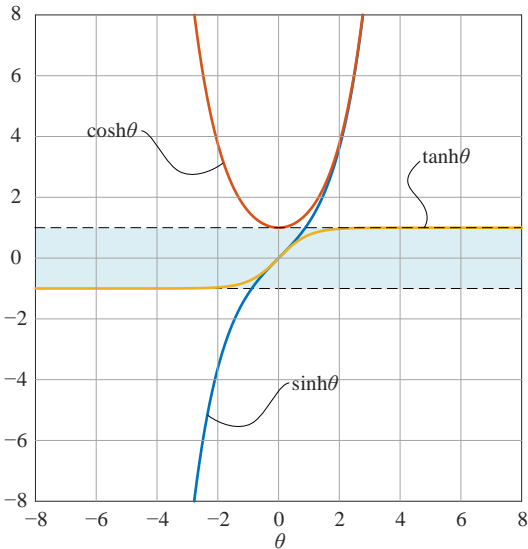


图 20. $\sinh\theta$ 、 $\cosh\theta$ 和 $\tanh\theta$ 三者关系

表 1. 用英文表达双曲函数

数学表达	英文表达	中文表达
$\sinh\theta$	hyperbolic sine theta \sinh /sint/ theta	双曲正弦
$\cosh\theta$	hyperbolic co sine theta \cosh /kpf/ theta	双曲余弦

$\tanh \theta$	hyperbolic tangent theta \tanh /tæntʃ/ theta	双曲正切
----------------	---	------

此外, $\sinh\theta$ 、 $\cosh\theta$ 和 $\tanh\theta$ 三个函数和指数函数 $\exp(\theta)$ 存在以下关系:

$$\begin{aligned}\sinh \theta &= \frac{\exp(\theta) - \exp(-\theta)}{2} \\ \cosh \theta &= \frac{\exp(\theta) + \exp(-\theta)}{2} \\ \tanh \theta &= \frac{\sinh \theta}{\cosh \theta} = \frac{\exp(\theta) - \exp(-\theta)}{\exp(\theta) + \exp(-\theta)}\end{aligned}\quad (25)$$

图 21 所示为 $\sinh\theta$ 和 $\cosh\theta$ 与指数函数关系。

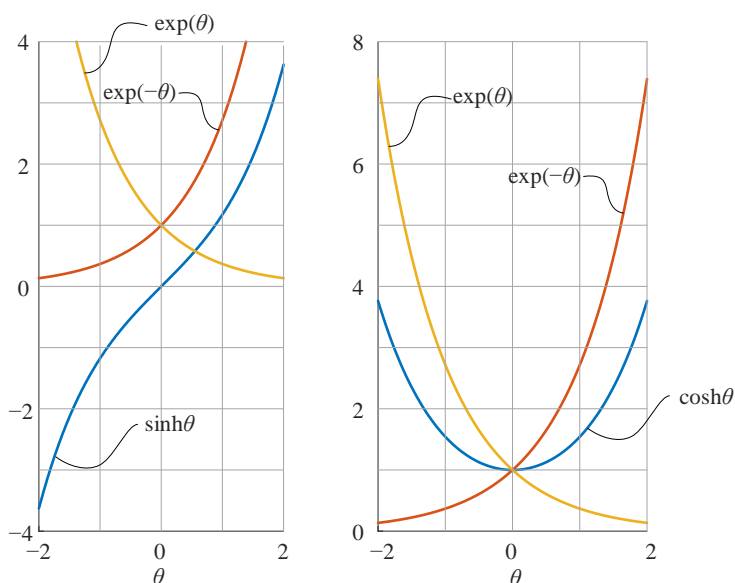


图 21. $\sinh\theta$ 和 $\cosh\theta$ 与指数函数关系

9.7 圆锥曲线一般式

圆锥曲线的一般形式解析式如下:

$$Ax_1^2 + Bx_1x_2 + Cx_2^2 + Dx_1 + Ex_2 + F = 0 \quad (26)$$

注意当 $B = 0$ 时, 圆锥曲线没有旋转。

满足下列条件, 圆锥曲线为正圆:

$$Ax_1^2 + Cx_2^2 + Dx_1 + Ex_2 + F = 0, \quad A = C \quad (27)$$

满足下列条件，圆锥曲线为正椭圆，即没有旋转：

$$Ax_1^2 + Cx_2^2 + Dx_1 + Ex_2 + F = 0, \quad A \neq C, \quad AC > 0 \quad (28)$$

满足下列条件，圆锥曲线为正双曲线：

$$Ax_1^2 + Cx_2^2 + Dx_1 + Ex_2 + F = 0, \quad AC < 0 \quad (29)$$

满足下列条件，圆锥曲线为正抛物线：

$$\begin{cases} Ax_1^2 + Dx_1 + Ex_2 + F = 0 \\ Cx_2^2 + Dx_1 + Ex_2 + F = 0 \end{cases} \quad (30)$$

注意当 $B \neq 0$ 时，圆锥曲线存在旋转，需要通过 $B^2 - 4AC$ 来判断圆锥曲线类型。

$B^2 - 4AC < 0$ 时，圆锥曲线为椭圆； $B^2 - 4AC = 0$ ，圆锥曲线为抛物线； $B^2 - 4AC > 0$ 时，圆锥曲线为双曲线。

大家可能会问，为何要采用 $B^2 - 4AC$ 来判断圆锥曲线类型？我们将在《矩阵力量》回答这个问题。

把 (26) 写成如下矩阵运算式：

$$\frac{1}{2} \begin{bmatrix} x_1 \\ x_2 \end{bmatrix}^T \begin{bmatrix} 2A & B \\ B & 2C \end{bmatrix} \begin{bmatrix} x_1 \\ x_2 \end{bmatrix} + \begin{bmatrix} D \\ E \end{bmatrix}^T \begin{bmatrix} x_1 \\ x_2 \end{bmatrix} + F = 0 \quad (31)$$

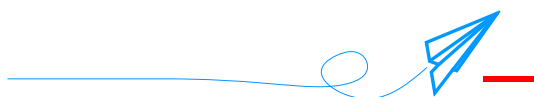
进一步写成：

$$\frac{1}{2} \mathbf{x}^T \mathbf{Q} \mathbf{x} + \mathbf{w}^T \mathbf{x} + F = 0 \quad (32)$$

其中，

$$\mathbf{Q} = \begin{bmatrix} 2A & B \\ B & 2C \end{bmatrix}, \quad \mathbf{w} = \begin{bmatrix} D \\ E \end{bmatrix} \quad (33)$$

目前，不需要大家掌握 (31) 这个矩阵运算式；我们也将《矩阵力量》一册深入分析这个等式。



正如牛顿所言，“我不知道世人看我的眼光。依我看来，我不过是一个在海边玩耍的孩子，不时找到几个光滑卵石、漂亮贝壳，而惊喜万分；而展现在我面前的是，真理的浩瀚海洋，静候探索。”

人类何尝不是在宇宙某个角落玩耍的一群孩子，手握的知识不过沧海一粟，却雄心万丈一心要去探索星辰大海。

但也正是这群孩子将无数的不可能变成了可能，现在他们已经在地月系、甚至太阳系的边缘跃跃欲试。

今人不见古时月，今月曾经照古人。宇宙的星辰大海一直都在人类眼前，它从未走远。路漫漫其修远兮，吾将上下而求索。

地球不过是人类的摇篮，我们的征途是星辰大海。这句话含蓄而浪漫，刘慈欣《三体》中则说的更为露骨而冷酷“我们都是阴沟里的虫子，但总还是得有人仰望星空。”